

$$\begin{cases} M_x = 2.8 \cdot 10^6 \text{ Nmm} \\ M_z = 5 \cdot 10^6 \text{ Nmm} \\ T = 100 \cdot 10^3 \text{ N} \end{cases}$$

- 1) Calcolo dello stato di sforzo nei punti A, B, C.
- 2) Disegno del cerchio di Mohr nei punti A, B, C
- 3) Sforzi principali (e dir. principali) nei punti A, B, C.
- 4) Calcolo  $\sigma_{\text{MAX}}$  e direzione nei punti A, B, C.

• CALCOLI PRELIMINARI

$$\alpha = \arcsin\left(\frac{2 \cdot h}{D}\right) =$$

$$= \arcsin\left(\frac{60}{70}\right) = 58.8873^\circ$$

$$\begin{cases} D = 70 \text{ mm} \\ d = 50 \text{ mm} \\ h = 30 \text{ mm} \end{cases}$$

$$J_x = \frac{\pi (D^4 - d^4)}{64} = \frac{\pi (70^4 - 50^4)}{64} = 871791.9614 \text{ mm}^4$$

$$J_p = \frac{\pi (D^4 - d^4)}{32} = \frac{\pi (70^4 - 50^4)}{32} = 1743583.9227 \text{ mm}^4$$

• PUNTO A { sistema di riferimento locale  $\{O_2 x_2 y_2 z_2\}$

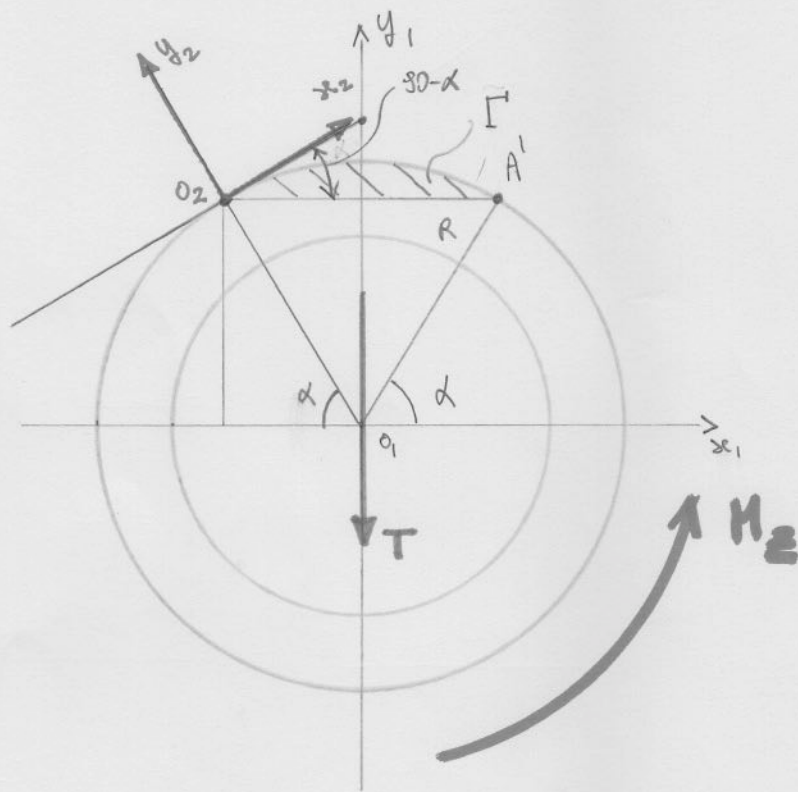
- Problema flessionale: nel punto A l'unico contributo agli sforzi interni è dato dal momento flettente  $M_x$ , che genera uno sforzo di trazione orientato come l'asse  $z_2$ .

$$\sigma_{z_2} = \frac{M_x \cdot h}{J_x} = \frac{M_x \cdot 30}{J_x} = +96.3533 \text{ Mpa}$$

- Problema torsionale (taglio): nel punto A ci sono due fattori che contribuiscono agli sforzi tangenziali:

- le  $\tau$  derivanti dalle forze di taglio  $T$ .

- le  $\tau$  derivanti dal momento torcente  $M_z$ .



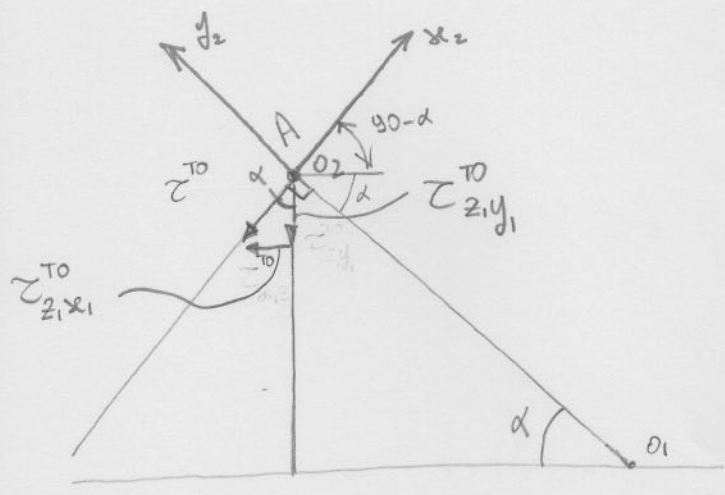
• Nel caso delle  $\tau^{TO}$  derivanti dalle torsioni possiamo utilizzare le ben note formule

$$\tau^{TO} = \frac{M_T r}{J_P} = \frac{M_z \cdot D/2}{J_P} =$$

$$= 100.3680 \text{ MPa}$$

Nel sistema di riferimento locale  $\{O_2 x_2 y_2 z_2\}$  queste sono parallele all'asse  $x_2$  ma dirette in verso opposto. Il sistema

di riferimento  $\{O_2 x_2 y_2 z_2\}$  è mantenuto nel punto A in modo che l'asse  $x_2$  giaccia sulla tangente alla circonferenza in A. Per calcolare le componenti di  $\tau^{TO}$  secondo gli assi del riferimento  $\{O_1 x_1 y_1 z_1\}$  è sufficiente proiettare e regolare sulle componenti.



$$\tau_{z_1, x_1}^{TO} = \tau^{TO} \cdot \sin(\alpha) = 86.0297 \text{ MPa}$$

$$\tau_{z_1, y_1}^{TO} = \tau^{TO} \cdot \cos(\alpha) = 51.6974 \text{ MPa}$$

• Nel caso delle  $\tau$  dovute al taglio si usano le formule del Jourawsky per le sezioni compatte simmetriche.

$$\tau = \frac{T S}{b J}$$

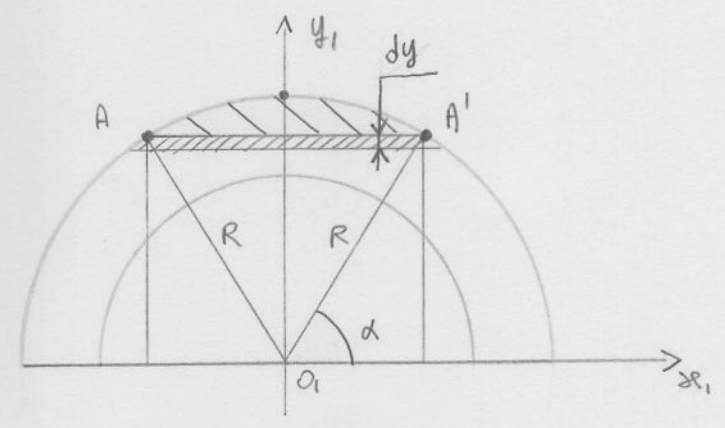
Per trovare come esprimiamo il momento statico dell'area  $\Gamma'$  in funzione di  $\alpha$ .

L'area infinitesimale di una corda possiede nel punto A e il punto A' ma analogo può esprimere con:

$$dA = 2 R \cdot \cos(\alpha) dy$$

$$y = R \cdot \sin(\alpha) \quad dy = R \cos(\alpha) d\alpha$$

$$dA = 2 R \cos(\alpha) R \cos(\alpha) d\alpha = 2 R^2 \cos^2(\alpha) d\alpha$$



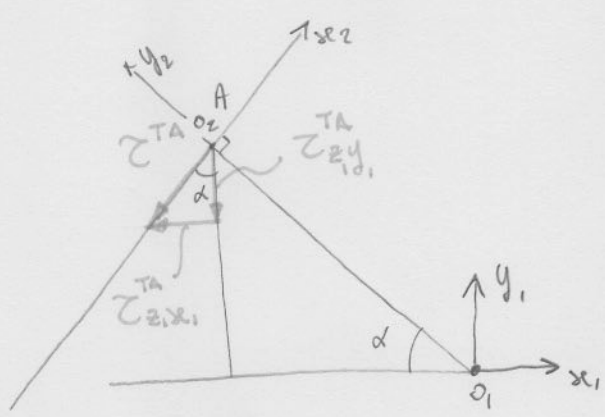
$$S_{x_1} = \int_A y dA = \int_{\alpha}^{\frac{\pi}{2}} 2 R \sin(\alpha) R^2 \cos^2(\alpha) d\alpha = \int_{\alpha}^{\frac{\pi}{2}} 2 R^3 \underbrace{\sin(\alpha)}_{-g(\alpha)'} \underbrace{\cos^2(\alpha)}_{f(g(\alpha))} d\alpha =$$

$$= -2 R^3 \int_{\alpha}^{\frac{\pi}{2}} \sin(\alpha) \cdot \cos^2(\alpha) d\alpha = -\frac{2}{3} R^3 \cos^3(\alpha) \Big|_{\alpha}^{\frac{\pi}{2}} = \frac{2}{3} R^3 \cos^3(\alpha)$$

La corda A-A' ha lunghezza  $b = 2R \cos(\alpha)$ .

$$\tau_{z_1 y_1}^{TA} = \frac{T \cdot \frac{2}{3} R^3 \cos^3(\alpha)}{2R \cos(\alpha) J_x} = 12.4265 \text{ MPa}$$

Sappiamo che le  $\tau$  dovute anche torsione ed momento nullo in caso contrario dovrebbe esistere una  $\tau$  lungo le fibre laterali dell'elica, il che è impossibile nullo le fibre sono sciolte. Di conseguenza deve esistere una componente  $\tau_{z_1 x_1}$  che rende la risultante  $\tau^{TA}$  tangente alle circonferenze in A.



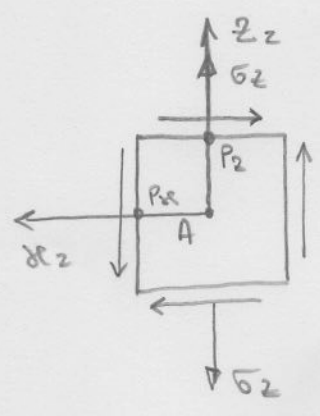
$$\tau_{z_1 x_1}^{TA} = \tau_{z_1 y_1}^{TA} \cdot \tan(\alpha) = 20.6730 \text{ MPa}$$

$$\tau^{TA} = \sqrt{\tau_{z_1 x_1}^{TA 2} + \tau_{z_1 y_1}^{TA 2}} = 24.1255 \text{ MPa}$$

Per il principio di sovrapposizione degli effetti possiamo esprimere le  $\tau_{z_2 x_2}$  nel punto A come somma di un contributo torsione e di un contributo tagliante.

$$\tau_{z_2 x_2} = \tau^{T0} + \tau^{TA} = 124.4334 \text{ MPa}$$

ELEMENTINO INFINITESIMO in A  $\{O_2 x_2 y_2 z_2\}$



TENSORE DEGLI SFORZI in  $\{O_2 x_2 y_2 z_2\}$

$$\underline{\underline{\sigma}}_{z_2} = \begin{bmatrix} \sigma_x & \tau_{yx} & \tau_{zx} \\ \tau_{xy} & \sigma_y & \tau_{zy} \\ \tau_{xz} & \tau_{yz} & \sigma_z \end{bmatrix} = \begin{bmatrix} \emptyset & \emptyset & -124.4334 \\ \emptyset & \emptyset & \emptyset \\ -124.4334 & \emptyset & +86.3533 \end{bmatrix}$$

Il meno deriva dalle convenzioni nei segni del tensore degli sforzi.



CONSIDERAZIONE SUL TENSORE DEGLI SFORZI.

Per il punto A abbiamo finora lavorato nel sistema di riferimento  $\{o, x, y, z\}$ , convenientemente ruotato in tale sistema lo stato di sforzo è piano.

Vediamo come ruotato il tensore nel sistema di riferimento  $\{o, x, y, z\}$ .

$\bar{\sigma}_{II} = [R]^T \bar{\sigma}_I [R]$  secondo la legge di trasformazione sui tensori doppi.

R è la matrice di rotazione intorno a z :  $R = \begin{bmatrix} C_{\theta} & -S_{\theta} & 0 \\ S_{\theta} & C_{\theta} & 0 \\ 0 & 0 & 1 \end{bmatrix}$

Per ottenere  $\bar{\sigma}_{II}$  premoltiplichiamo per [R] e post moltiplichiamo per [R]^T entrambi i membri.

$[R] \bar{\sigma}_{II} [R]^T = [R] [R]^T \bar{\sigma}_I [R] [R]^T$

$\bar{\sigma}_I = [R] \bar{\sigma}_{II} [R]^T = \begin{bmatrix} \sigma_x & \tau_{yx} & \tau_{zx} \\ 0 & 0 & -106.7087 \\ \tau_{xy} & \sigma_y & \tau_{zy} \\ 0 & 0 & -64.1238 \\ \tau_{xz} & \tau_{yz} & \sigma_z \\ -106.7087 & -64.1238 & +86.3533 \end{bmatrix} [MPa]$

controlliamo se effettivamente i termini  $\tau_{x,z}$  e  $\tau_{y,z}$  sono coerenti

$|\tau_{x,z}| = |\tau_{x,z}^{TO}| + |\tau_{x,z}^{TA}| = 86.0287 + 20.6780 MPa = 106.7087 MPa$

$|\tau_{y,z}| = |\tau_{y,z}^{TO}| + |\tau_{y,z}^{TA}| = 51.6874 + 12.4265 MPa = 64.1238 MPa$

2 simmetrie sono coerenti. Nel sist. di ref. ① lo stato di sforzo

NON è piano.

PUNTO B SIST. di ref.  $\{0, x_1, y_1, z_1\}$

Non w sono sposti e solo dovuto alle flessioni punti sono in corrispondenza dell'asse neutro (centro)

SFORZI  $\tau$  di torsione

$$\tau^{TO} = \frac{Mz \frac{D}{2}}{J_p} = 100.3680 \text{ MPa}$$

SFORZI  $\tau^{TA}$

Momento statico semi-cerchio

Derive dell'integrale:

$$S_{x_1} = \int_A y \, dA \text{ passò alle coord. polari} = \int_0^\pi \int_{\frac{d}{2}}^{\frac{D}{2}} R \sin(\vartheta) R \, dR \, d\vartheta =$$

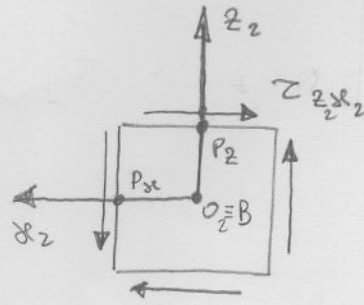
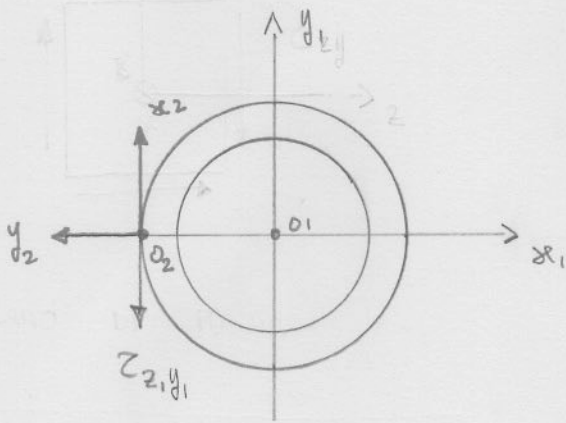
$$= \int_0^\pi \sin(\vartheta) \, d\vartheta \int_{\frac{d}{2}}^{\frac{D}{2}} R^2 \, dR = -\frac{R^3}{3} \Big|_{\frac{d}{2}}^{\frac{D}{2}} \cos(\vartheta) \Big|_0^\pi = -\frac{R^3}{3} \Big|_{\frac{d}{2}}^{\frac{D}{2}} (\cos(\pi) - \cos(0)) =$$

$$= \frac{R^3}{3} \Big|_{\frac{d}{2}}^{\frac{D}{2}} [\cos(0) - \cos(\pi)] = \frac{2}{3} \cdot \frac{D^3}{8} - \frac{d^3}{8} = \frac{2}{3} \cdot \frac{1}{8} (D^3 - d^3) = \frac{D^3 - d^3}{12}$$

$$\tau^{TA} = \frac{T \cdot \frac{D^3 - d^3}{12}}{(D-d) \cdot J_p} = 104.1815 \text{ MPa}$$

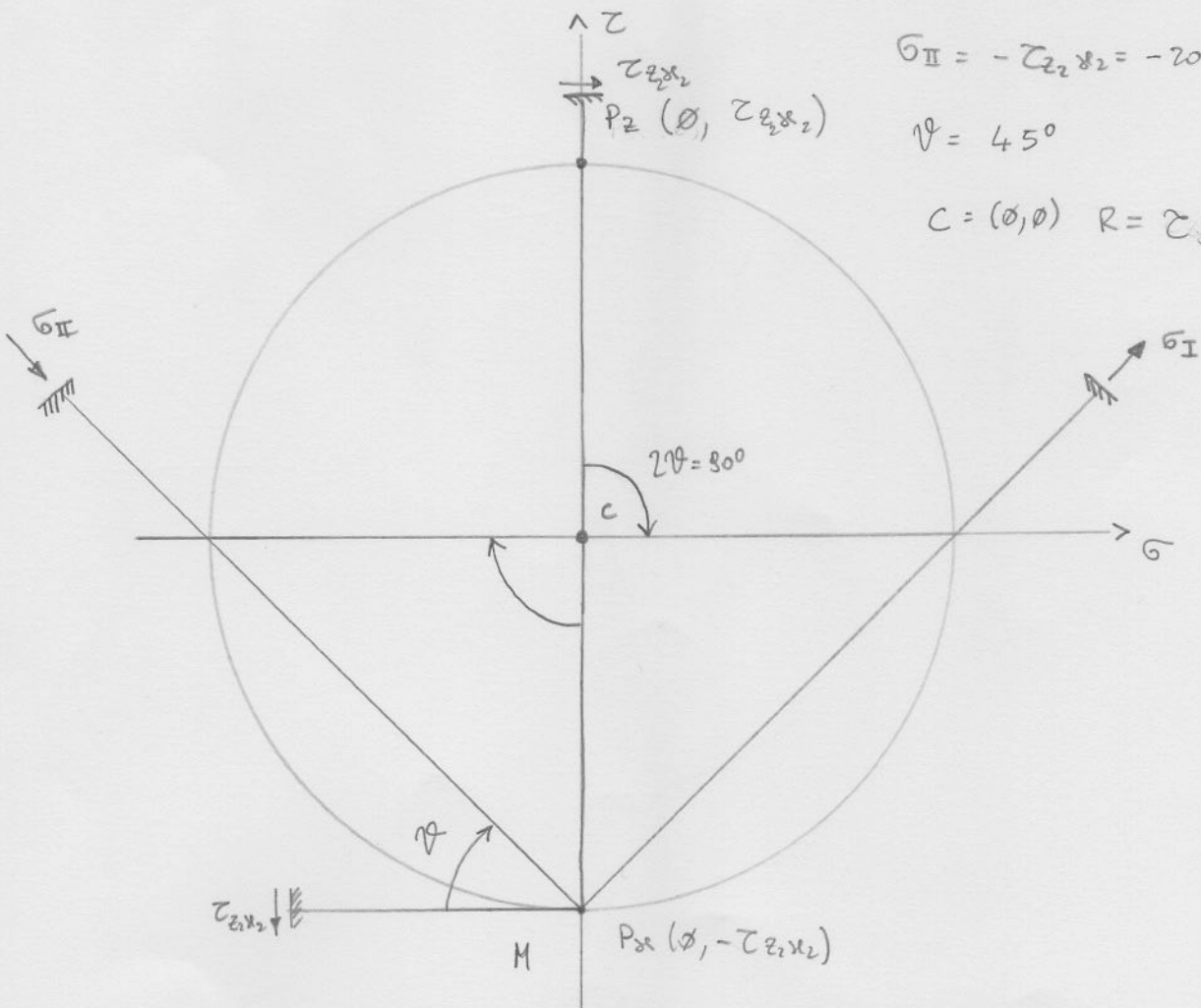
$$\tau_{2 \times 2} = \tau^{TO} + \tau^{TA} = 204.5585 \text{ MPa}$$

Utilizzo un sistema di wf.  $\{o_2, x_2, y_2, z_2\}$



$$\underline{\underline{\sigma}}_2 = \begin{bmatrix} \sigma_x & \tau_{yx} & \tau_{zx} \\ \tau_{xy} & \sigma_y & \tau_{zy} \\ \tau_{xz} & \tau_{yz} & \sigma_z \end{bmatrix} = \begin{bmatrix} \emptyset & \emptyset & -204.5535 \\ \emptyset & \emptyset & \emptyset \\ -204.5535 & \emptyset & \emptyset \end{bmatrix}$$

CERCHIO DI MOHR



$$\sigma_I = + \tau_{z_2 x_2} = 204.5535 \text{ MPa}$$

$$\sigma_{II} = - \tau_{z_2 x_2} = -204.5535 \text{ MPa}$$

$$\varphi = 45^\circ$$

$$C = (0, 0) \quad R = \tau_{z_2 x_2}$$

Verifica dello stato tensionale con il tensore degli sforzi.

Il sistema  $\{o_2, x_2, y_2, z_2\}$  è ruotato di  $30^\circ$  rispetto al sistema  $\{o_1, x_1, y_1, z_1\}$ . La rotazione avviene lungo l'asse  $z_1$ .

$$R_z = \begin{bmatrix} \cos(\pi/2) & -\sin(\pi/2) & 0 \\ \sin(\pi/2) & \cos(\pi/2) & 0 \\ 0 & 0 & 1 \end{bmatrix}$$

$$\bar{\sigma}_2 = \begin{bmatrix} \sigma_{xx} & \tau_{yx} & \tau_{zx} \\ 0 & 0 & -204.5595 \\ \tau_{xy} & \sigma_{yy} & \tau_{zy} \\ 0 & 0 & 0 \\ \tau_{xz} & \tau_{yz} & \sigma_{zz} \\ -204.5595 & 0 & 0 \end{bmatrix} [MPa]$$

$$\bar{\sigma}_2 = [R]^T [\bar{\sigma}_1] [R]$$

$$\bar{\sigma}_1 = [R] [\bar{\sigma}_2] [R]^T = \begin{bmatrix} \sigma_z & \tau_{yz} & \tau_{zx} \\ 0 & 0 & 0 \\ \tau_{xy} & \sigma_y & \tau_{zy} \\ 0 & 0 & -204.5595 \\ \tau_{xz} & \tau_{yz} & \sigma_z \\ 0 & -204.5595 & 0 \end{bmatrix} [MPa]$$

Come  $n$  note nel sistema 1 siamo al cospetto di una  $\tau_{yz}$ , come  $n$  potremo dedurre dal diagramma di pag. 8.

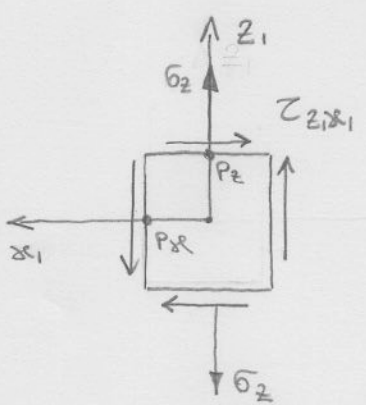
• PUNTO C

Si nota subito che il punto c si trova nel diametro verticale e più precisamente nel bordo interno delle sezioni tubolari. Come già ricordato le  $\tau$  possono essere solo tangenti alle circonferenze, perché per definizione le superfici interne ed esterne del cilindro sono scuche. Di conseguenza le  $\tau$  dante al taglio  $\bar{\tau}$  nulla. È presente solo la  $\tau$  dante alla torsione.

$$\tau_{z,x_1} = \frac{M_z \cdot r}{J_P} = \frac{M_z \cdot 25}{J_P} = 71.6314 MPa$$

$$\sigma_{z_1} = \frac{M_{xz} \cdot d/2}{J} = 80.2844 MPa$$

Stavolta uso il sist. di riferimento  $\{o_1, x_1, y_1, z_1\}$  in quanto è comodo.



$$\bar{\sigma} = \begin{bmatrix} 0 & 0 & -71.6314 \\ 0 & 0 & 0 \\ -71.6314 & 0 & 80.2844 \end{bmatrix} [MPa]$$

